

Кафедра квантовой радиофизики и электроники

Отчет по лабораторной работе №1

**Исследование твердотельных структур методом  
ЭПР-спектроскопии**

Выполнили студенты 440 группы  
Виноградов И.Д., Понур К.А., Шиков А.П.

Нижний Новгород, 2019

# 1. Теоретическая часть

В данной работе проводится исследование спектров поглощения ЭПР двух твердотельных структур: свободного радикала **дифенила** и парамагнитного кристаллического вещества – **рубина**. Рассмотрим качественную картину спектров данных образцов.

**Дифенил** представляет собой сложную по своей структуре молекулу с молярным весом в 518, имеющую один неспаренный электрон. Его парамагнетизм обусловлен спиновым моментом неспаренного электрона. У дифенила будет наблюдаться только один резонансный переход, и сигнал ЭПР будет представлять собой одиночную резонансную линию.

**Рубин** представляет собой кристалл корунда  $Al_2O_3$ , в котором часть ионов  $Al^{3+}$  замещена парамагнитными ионами  $Cr^{3+}$  с суммарным спином  $S = \frac{3}{2}$ . Результирующий ЭПР-спектр рубина определяется числом разрешенных резонансных переходов, для которых выполняется соотношение  $E_m - E_{m'} = \hbar\omega$ . Разрешенными переходами будут такие, для которых матричный элемент дипольного момента  $\mu_{mm'}$  не равен 0. В конечном счете, вычисление матричного элемента  $\mu_{mm'}$  сводится к следующему:

$$\mu_{mm'} = \frac{g\beta_B}{\hbar} \langle m | \hat{S}_x | m' \rangle \quad (1)$$

Для его вычисления используют операторы повышения и понижения

$$\begin{aligned} \hat{S}_+ &= \hat{S}_x + i\hat{S}_y; \\ \hat{S}_- &= \hat{S}_x - i\hat{S}_y \end{aligned}$$

Заменяя в (1) оператор  $\hat{S}_x$  на  $\frac{\hat{S}_+ + \hat{S}_-}{2}$  можно убедиться в том, что отличными от нуля будут только матричные элементы вида  $\langle m | \hat{S}_x | m \pm 1 \rangle$ . Следовательно, резонансные переходы разрешены только между теми уровнями, квантовые числа  $m$  которых различаются на  $\pm 1$ . Всего таких переходов в кристалле рубина – три.

## 1.1. Условия выделения кривых и дисперсии на детекторе

Волноводный отражательный резонатор с отверстием связи можно представить в виде эквивалентного колебательного контура, импеданс которого определяется выражением

$$Z = R + i\left[\omega L_0 - \frac{1}{\omega C}\right],$$

где  $R$ ,  $L_0$  и  $C$  – эквивалентные сопротивление, индуктивность и ёмкость соответственно. При наличии парамагнетика с магнитной проницаемостью  $\mu$  индуктивность резонатора будет

записывать как  $L = \mu L_0$ . При частичном заполнении резонатора образцом магнитная проницаемость выражается через восприимчивость  $\chi$  следующим образом

$$\mu = 1 + 4\pi\eta\chi,$$

где  $\chi$  – коэффициент заполнения резонатора парамагнетиком. В результате получаем

$$Z = R + i\frac{L_0}{\omega}\left(\omega^2 - \frac{1}{L_0 C}\right) + i\omega L_0 \cdot 4\pi\eta\chi.$$

Величина  $\frac{1}{\sqrt{L_0 C}}$  дает собственную частоту резонатора. При резонансе  $\omega^2 = \frac{1}{L_0 C} = \omega_0^2$  и выражение для  $Z$  принимает вид

$$Z = R + i\omega L_0 \cdot 4\pi\eta\chi = R(1 + i4\pi\eta\chi'Q + 4\pi\eta''Q),$$

где  $Q = \frac{\omega L_0}{R}$  – добротность резонатора. Если обозначить характеристическое сопротивление волновода через  $Z_0$ , то комплексный коэффициент отражения от резонатора  $\Gamma$ , определяемый как отношение амплитуды падающего на резонатор поля  $E_n$  к амплитуде отраженного поля, будет равен

$$\Gamma = \frac{Z - Z_0}{Z + Z_0}$$

С учётом этого отраженную от резонатора сигнальную волну в точке детектирования можно записать в виде

$$E_1 = |E_n| \cdot \Gamma \cdot e^{-i4\pi\frac{L_1}{\lambda}},$$

где  $L_1$  – длина волноводного плеча от детектора до резонатора. Кроме этой волны на детектор поступает сигнал, отраженный от балансного плеча

$$E_2 = \alpha^2 |E_n| e^{-i4\pi\frac{L_2}{\lambda}},$$

где  $\alpha$  – коэффициент ослабления аттенюатора, а  $L_2$  – соответствующая длина балансного плеча. Суммарное поле на детекторе получим в следующем виде:

$$E = |E_n| \cdot e^{-i4\pi\frac{L_1}{\lambda}} \cdot \left\{ \Gamma + \alpha^2 e^{-i4\pi\frac{L_2-L_1}{\lambda}} \right\}.$$

При малых уровнях СВЧ-мощности ток детектора пропорционален квадрату напряженности поля  $E$  в этом случае имеем

$$i_{\text{дет}} = S|E|^2 = SP_n \cdot \left| \Gamma + \alpha^2 e^{-i4\pi\frac{L_2-L_1}{\lambda}} \right|^2,$$

где  $S$  – коэффициент преобразования детектора, а  $P_n$  – мощность, падающая на резонатор. Используя неравенства  $\chi' \ll 1$ ,  $\chi'' \ll 1$  и условие хорошей согласованности волновода с резонатором, получаем вид сигнала ЭПР:

$$i_{\text{дет}} = SP_n \cdot 4\pi Q\eta \left[ \chi'' \cos\left(\frac{4\pi}{\lambda}\Delta L\right) - \chi' \sin\left(\frac{4\pi}{\lambda}\Delta L\right) \right] \quad (2)$$

Отсюда следует, что в зависимости от положения замыкающего поршня балансного плеча сигнал на выходе детектора может быть пропорционален либо  $\chi'$ , либо  $\chi''$ . При разности  $\Delta L = L_2 - L_1$ , кратной  $\frac{\lambda}{4}$ , ток детектора будет пропорционален  $\chi''$ , а при дополнительном сдвиге на  $\frac{\lambda}{8}$  – пропорционален кривой  $\chi'$ .

## 1.2. Определение числа парамагнитных частиц в образце

Чтобы получить соотношение, позволяющее определить число парамагнитных частиц исходя из характеристики наблюдаемого сигнала ЭПР, воспользуемся выражением (2). При  $\Delta L \simeq \frac{\lambda}{4}$  имеем

$$i_{\text{дет}} \simeq SP_n \cdot 4\pi Q\eta \chi''.$$

Введем технический коэффициент  $A$ , характеризующий коэффициент усиления тракта «детектор-усилитель-осциллограф». Его величину можно измерить, подавая известный по величине модулированный СВЧ-сигнал на детекторную головку и измеряя при этом амплитуду видеосигнала на экране осциллографа. Если обозначить через  $L_M$  высоту видеосигнала модуляции на экране, а  $P_M$  – величину модулированной компоненты СВЧ-мощности, то коэффициент усиления  $A$  будет равен  $\frac{L_M}{P_M}$ . Если учесть такого рода амплитудную калибровку, высота сигнала ЭПР на экране осциллографа может быть записана как

$$L_C = AP_n \cdot 4\pi Q\eta \chi''(\omega_0) \quad (3)$$

Коэффициент заполнения  $\eta$  определяется как отношение двух интегралов вида  $\int H_1^2 d\nu$  по объему образца и резонатора соответственно. В условиях данной ЭПР-установки с достаточной степенью точности можно считать

$$\eta \simeq \frac{2V_{\text{обп}}}{V_{\text{рез}}}.$$

Значение  $\chi''$  для малых полей  $H_1$  при  $\omega = \omega_0$  можно записать в виде

$$\chi''(\omega_0) = \frac{N_0 \mu^2}{3KT} \omega_0 T_2^*$$

Отсюда количество парамагнитных частиц можно оценить как

$$N_0 = 3KT \frac{\chi''(\omega_0)}{\mu^2 \omega_0 T_2^*}. \quad (4)$$

Сопоставляя (3) и (4) получаем окончательно

$$N_0 = \frac{3KT}{8\pi Q\mu^2\omega_0 T_2^*} \cdot \frac{L_C}{L_M} \cdot \frac{P_M}{P_n} \cdot \frac{V_{рез}}{V_{обр}} \quad (5)$$

## 2. Экспериментальная часть

### 3. Исследование ЭПР в молекулах дифенила

**Получение на экране осциллографа кривых поглощения и дисперсии сигнала ЭПР.** Для получения необходимой картины необходимо произвести следующие действия:

1. Вставить образец в резонатор.
2. Включить ВЧ-генератор и прогреть его в течение 5-ти минут; включить модулирующее поле.
3. Подключить к выходу детектора измеритель мощности и при полностью выведенном аттенуаторе ( $\alpha = 0$ ) настроить клистронный генератор по частоте на центр одной из зон по максимуму мощности, контролируемой измерительным прибором. В эксперименте, для дифенила максимум частоты пришелся на  $\nu = 8.99$  ГГц.
4. Ввести волноводный аттенуатор балансного плеча ( $\alpha = 100\%$ ) и настроить его в резонанс (соответствует минимуму сигнала на выходе детектора.)
5. Подключить выход детектора с соблюдением полярности на вход с соблюдением полярности на вход усилителя.
6. Включить источник постоянного тока и, меняя величину тока через катушки магнита (зависимость  $H(I)$  на рис.1), вывести на резонансное значение поле  $H$ , определяя момент по появлению на экране осциллографа пары сигналов, соответствующих резонансному переходу.
7. Вывести волноводный аттенуатор ( $\alpha = 0$ ) и, перемещая плунжер балансного плеча, получить кривые  $\chi'$  и  $\chi''$ . (рис. 2) Кривой  $\chi'$  соответствует значение тока  $I' = 159$  мА, а кривой  $\chi'' - I'' = 169$  мА, что эквивалентно полю в 3550 и 3750 Гс соответственно.

**Измерение ширины линий поглощения сигнала ЭПР в единицах поля.**

**Расчет ширины линии в единицах частоты.**

**Определение числа парамагнитных частиц в образце.** Для вычисления числа парамагнитных частиц, воспользуемся пунктом 1.2 теории и формулой (5).

$$N_0 = \frac{3KT}{8\pi Q\mu^2\omega_0 T_2^*} \cdot \frac{L_C}{L_M} \cdot \frac{P_M}{P_n} \cdot \frac{V_{\text{рез}}}{V_{\text{обр}}},$$

где  $T_2^*$  – время поперечной релаксации,  $K$  – постоянная Больцмана,  $\mu$  – магнитная проницаемость дифенила,

Свыше нам даны следующие величины:

$$Q = 5000, \quad \frac{V_{\text{рез}}}{V_{\text{обр}}} \simeq 200, \quad \frac{P_M}{P_n} = 1$$

Из эксперимента остается определить собственную частоту резонатора  $\omega_0$  (нашли в 3.3), время поперечной релаксации  $T_2^*$  и отношение  $L_C/L_M$  (нашли двумя параграфами выше).

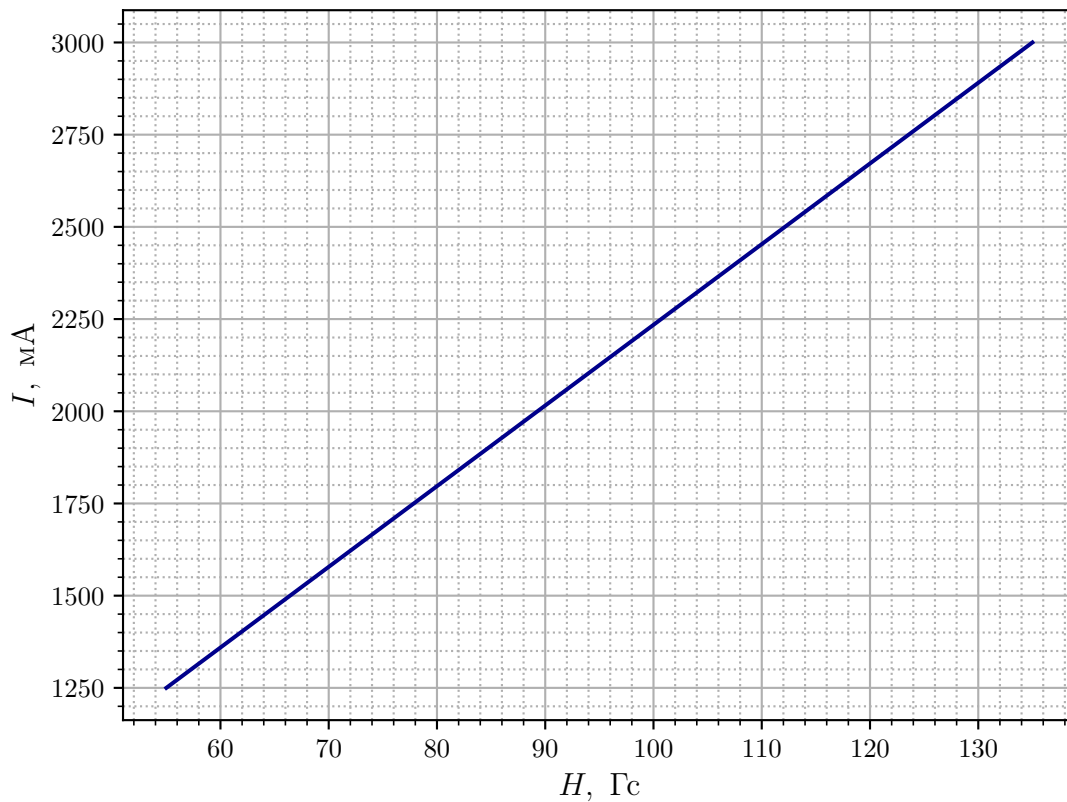


Рис. 1: Градуировочный график зависимости магнитного поля  $H$  от тока  $I$

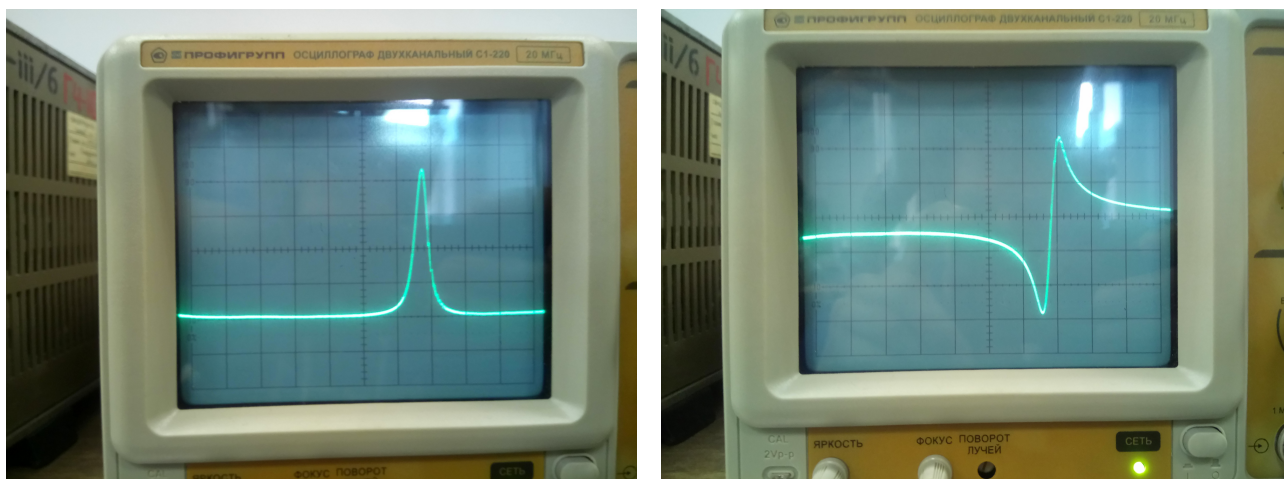


Рис. 2: Кривые  $\chi'$  и  $\chi''$  на экране осциллографа